

变均有一定诊断价值,但 RTE 价值较 PDI 更高,能为临床诊断、治疗提供参考依据。但本研究样本量较小, RTE 检查结果可能受操作者主观因素影响,建议由经验丰富的超声医师进行相关检查。

参考文献

- [1] 逯雪峰,张瞳,杨华睿,等.2型糖尿病患者跟腱病变的超声特征[J].中国超声医学杂志,2020,36(2):177-180.
- [2] Kruse A, Stafilidis S, Tilp M. Ultrasound and magnetic resonance imaging are not interchangeable to assess the achilles tendon cross-sectional-area[J].Eur J Appl Physiol,2017,117(1):73-82.
- [3] 中华医学会糖尿病学分会.中国2型糖尿病防治指南(2017年版)[J].中国实用内科杂志,2018,38(4):292-344.
- [4] 陈仕宇,臧国礼,许伟莹,等.高频超声对类风湿性跟腱病的诊断价值[J].中国医学影像学杂志,2017,25(9):702-706.
- [5] 李雪敏,张宇虹,苏本利.二维高频超声及能量多普勒超声评价2型糖

- 尿病患者跟腱异常改变[J].中国临床医学影像杂志,2015,26(8):593-596.
 - [6] 何伟红,符熙,柯祺,等.2型糖尿病跟腱厚度的初步研究[J].放射学实践,2019,34(2):193-196.
 - [7] 王玥,刘俐,刘欣婷,等.超声弹性成像评价健康成人跟腱的初步探讨[J].临床超声医学杂志,2012,14(7):436-439.
 - [8] Skypala J, Jandacka D, Hamill J. Reliability of a measurement technique for achilles tendon length[J].J Sports Sci,2019,37(20):2389-2395.
 - [9] 张帆,李慧,雷威,等.高频超声检测2型糖尿病患者下肢周围神经病变的临床价值[J].东南大学学报(医学版),2018,37(4):583-587.
 - [10] Snoj Ž, Wu CH, Taljanovic MS, et al. Ultrasound elastography in musculoskeletal radiology: past, present, and future[J].Semin Musculoskelet Radiol,2020,24(2):156-166.
 - [11] 李嵩秀,张宇虹,苏本利.实时超声弹性成像技术评价2型糖尿病患者跟腱弹性[J].中国医学影像技术,2015,31(8):1267-1270.
- (收稿日期:2021-03-28)

· 病例报道 ·

Ultrasonic misdiagnosis of immature teratoma of fetal anterior mediastinum: a case report 胎儿前纵隔未成熟性畸胎瘤超声误诊 1 例

陈佳 邬霞 唐绪明 江韦

[中图法分类号]R445.1;R714.5

[文献标识码]B

孕妇,28岁,孕1产0,体质指数 32.4 kg/m²,无家族疾病史、其他疾病史、药物过敏史等。孕24周行产前常规超声检查:于胎儿右侧胸腔探及一大小约 13 mm×10 mm×10 mm 的异常回声,边界较清,形态欠规则,其内由多个无回声融合,该异常回声与右肺及胸腺分界欠清,后方靠近上腔静脉;CDFI 于异常回声内部及周边均未探及明显血流信号(图1)。羊水量正常,胎儿胸腔及心包均未见明显积液,心脏未见明显移位,其余结构未见明显异常。超声提示:胎儿右侧胸腔囊性占位(来源于右肺?囊腺瘤?)。MRI 检查:胎儿前上纵隔偏右侧见团状囊实性异常信号影,边界较清晰,大小约 3.9 cm×2.2 cm×2.8 cm,以实性成分为主,实性成分 T1WI 呈等信号、T2WI 呈稍高信号、DWI 呈混杂稍高及低信号,多发大小不等类圆形、条索囊性成分主要位于病变右侧,气管、主支气管向后推挤受压,上腔静脉向后推移,胸腺及心脏受压稍向左下移位。MRI 提示:前上纵隔占位性病变,考虑肿瘤性病变,生殖细胞来源?孕妇后行引产,引产儿外观未见明显异常,超声检查:于右侧胸腔探及一大小 39 mm×26 mm×24 mm 的混合回声,其内可见 14 mm×11 mm×10 mm 的

无回声,无回声位于混合回声背侧边缘,靠近上腔静脉,该混合回声与右肺分界明确,未能探及其与胸腺确切关系(图2)。肿块病理标本:大小 40 mm×30 mm×25 mm,切开为囊实性,以实性为主,质软;镜下可见原始神经管(图3),另见成熟神经组织、毛囊,与胸腺组织有分界,紧邻变薄的胸腺组织(图4)。病理诊断:前纵隔未成熟性畸胎瘤(1级)。

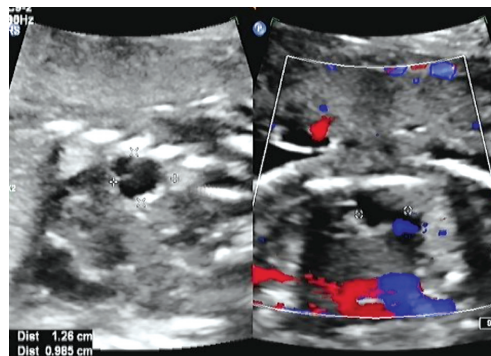


图1 声像图示胎儿右侧胸腔囊性结构

(下转第933页)

占比均高于恶性结节,差异均有统计学意义(均 $P<0.05$)。MSCT诊断甲状腺良恶性结节的敏感性、特异性、准确率分别为80.00%、79.17%、78.72%,提示其诊断价值较高。

本研究联合诊断结果显示,CEUS、US、MSCT两两联合诊断价值均高于单项检查,三种方法联合应用的诊断敏感性、特异性、准确率均高于两两联合或单独应用,差异均有统计学意义($P<0.05$)。与刘蕊^[12]研究结果一致。

综上所述,CEUS、UE联合MSCT对甲状腺良恶性结节具有较好的鉴别诊断价值,可为临床诊断提供参考。本研究不足之处为研究样本量较少,今后仍需进一步行大样本研究验证。

参考文献

- [1] 张晋. 超声弹性成像和超声造影在甲状腺良恶性结节鉴别中的应用价值[J]. 河南医学研究, 2021, 30(1): 146-148.
- [2] 马淑梅, 闫瑞斌, 冯桃桃. 超声造影成像及参数特征对甲状腺TI-RADS4类结节良恶性的诊断价值[J]. 中国超声医学杂志, 2019, 35(10): 868-872.
- [3] 杨丽娟, 江波, 郝艳敏, 等. 彩色多普勒超声联合超声弹性成像对甲状腺良恶性结节的鉴别诊断价值[J]. 河北医药, 2020, 42(9):

1376-1378, 1382.

- [4] 中华医学会内分泌学会《中国甲状腺疾病诊治指南》编写组. 中国甲状腺疾病诊治指南——甲状腺结节[J]. 中华内科杂志, 2008, 47(10): 867-868.
- [5] 于潇. 超声造影、MSCT及细针穿刺在甲状腺结节良恶性病变诊断中的应用[J]. 中国CT和MRI杂志, 2018, 16(8): 37-39.
- [6] 范丽青, 刘薇, 管湘霞, 等. 超声造影和弹性成像对TI-RADS4类甲状腺结节的定性诊断的对比研究[J]. 实用癌症杂志, 2019, 34(9): 1546-1549.
- [7] 庞丽娜, 秦伟栋, 杨晓, 等. CEUS灌注模式鉴别诊断甲状腺良恶性结节[J]. 中国医学影像技术, 2019, 35(7): 989-992.
- [8] 周倩. 甲状腺良恶性结节患者CEUS检查的特征及相关生物学行为的评价[J]. 中国医师杂志, 2019, 21(7): 1039-1042, 1047.
- [9] 王益民, 杨皓, 黄嵘, 等. 超声弹性成像在鉴别甲状腺良恶性结节中的应用价值[J]. 贵州医药, 2019, 43(1): 137-138.
- [10] 徐丹凤, 王志利, 刘洋, 等. 超声弹性成像联合TSH检测对甲状腺结节良恶性鉴别诊断的价值分析[J]. 东南大学学报(医学版), 2018, 37(1): 50-54.
- [11] 李晓卿, 徐志豪, 齐银萍. CT纹理分析与MSCT三维重建对孤立性肺结节良恶性鉴别诊断效能分析[J]. 影像科学与光化学, 2020, 38(5): 914-918.
- [12] 刘蕊. 超声、MSCT鉴别甲状腺良恶性结节效能的临床研究[J]. 中国CT和MRI杂志, 2020, 18(10): 23-25.

(收稿日期: 2021-06-09)

(上接第928页)

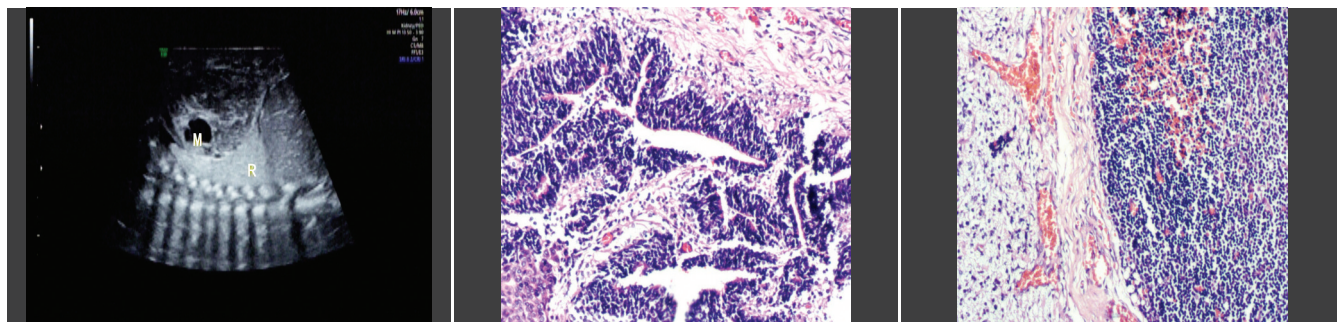


图2 声像图显示引产儿右侧胸腔囊实性结构(M)与右肺(R)分界明显

图3 病理图显示原始神经管(HE染色, ×200)

图4 病理图显示畸胎瘤组织与胸腺组织有明显分界(HE染色, ×200)

讨论: 胎儿畸胎瘤可发生于身体多个部位, 纵隔畸胎瘤少见, 恶性者更为罕见。胎儿纵隔畸胎瘤除具有肿瘤自身特征外, 可引起纵隔移位、心脏受压、肺发育不良、胎儿水肿等继发征象; 若肿瘤明显压迫胎儿食管可影响吞咽功能, 还可出现羊水过多^[1], 本例胎儿羊水正常, 可能是误诊原因之一。超声是诊断本病的首选方法, 本病例由于未合并继发征象, 且囊实性包块以实性为主, 回声较低, 被误认为正常胸腺组织, 而囊性部分紧邻右肺, 未能辨别其与右肺的分界及对右肺的压迫, 因此被误诊为肺囊腺瘤。超声虽不能明确肿瘤组织学类型, 但通过回声情况、占位效应、继发征象等可检出病灶。临床应注意与畸胎瘤、胸腺瘤、纵隔原发精原细胞瘤、胸内甲状腺、神经母细胞瘤等鉴别。

本病预后以肿瘤大小及生长速度为最重要的影响因素, 若

影响心脏、肺脏的生长发育, 则预后较差; 若未出现胎儿水肿、心包积液, 可通过经胸骨正中切开术切除肿瘤; 若出现胎儿窘迫或心功能不全, 可行宫内心包-羊膜腔分流术, 有助于延长妊娠期, 改善胎儿肺功能^[2]。

参考文献

- [1] 李胜利, 罗国阳. 胎儿畸形产前超声诊断学[M]. 2版. 北京: 科学出版社, 2017: 798.
- [2] Darouich S, Bellamine H. Fetal mediastinal teratoma: misinterpretation as congenital cystic lesions of the lung on prenatal ultrasound [J]. J Clin Ultrasound, 2020, 8(5): 287-290.

(收稿日期: 2020-04-26)